

ΓΕΩΛΟΓΙΑ. — Μικροαναλυτικές διερευνήσεις και συγκρίσεις ολιβινῶν, πυροξένων και χρωμιτών, ἐκ τῶν ὑπερβασικῶν διαπλάσεων Ἑλλάδος και Κύπρου, ὑπὸ Γ. Μαρίνου - Αἰκ. Σπαθῆ - Β. Περδικάτση*.
Ἐνεκρινώθη ὑπὸ τοῦ Ἀκαδημαϊκοῦ κ. Λουκᾶ Μούσουλου.

Συνεχίζοντας τὰς ἐρεῦνας ἐπὶ τῶν ολιβινῶν και ολιβινιτῶν Ἑλλάδος και Κύπρου (Μαρίνος, Μαράτος, Μαστραντώνης, Σπαθῆ, 1957 - 1981) διερευνῶμεν ἐδῶ μικροαναλυτικῶς τὸν χημισμόν τοῦ ολιβίνου και τῶν συνοδῶν ὀρυκτῶν πυροξένων και σπινελίων (χρωμίτου πρωτίτως) ἐπὶ δειγμάτων ληφθέντων ἐκ τῶν μεταλλείων χρωμίτου Ἁγίου Δημητρίου τοῦ ὄρους Πιερίων και Κοκινόροτσου τοῦ κεντρικοῦ ὄρους Τροόδου Κύπρου. Τὰ μελετηθέντα δείγματα εἶχον προηγουμένως (1981) ἐξετασθῆ δια τῆς ὀπτικῆς και τῆς ἀκτινογραφικῆς μεθόδου, και τὰ ἀποτελέσματα αὐτὰ συγκρίνονται πρὸς τὰ ἐκ τῆς μικροαναλύσεως ἐξαγόμενα, καθὼς μὲ ἐκεῖνα ἀπὸ ἄλλους μελετηθέντας ολιβινίτας τῆς Ἑλλάδος. Ἡ μικροανάλυσις ἔδειξεν ἐπὶ πλεόν, τὴν παρουσίαν και ἄλλων μεταλλικῶν ὀρυκτῶν ἐντὸς τῶν ὑπερβασικῶν πετρωμάτων Πιερίων και Κύπρου, περὶ τῶν ὁποίων ὁ λόγος ἐν συνεχείᾳ.

Διὰ τὸν μικροαναλυτικὸν διαχωρισμὸν τῶν ὀρυκτῶν φάσεων ἐχρησιμοποιήθη ἠλεκτρονικὸς μικροαναλυτὴς τύπου Super Probe 733, Jeol Ἰαπωνίας, μὲ χειριστὴν τὸν κ. Σ. Νανόπουλον, τῶν Ἐργαστηρίων τοῦ Ἰνστιτούτου Γεωλογικῶν και Μεταλλευτικῶν Ἐρευνῶν (ΙΓΜΕ).

Ὀ λ ι β ί ν η ς. Τὰ ἐκ τῆς μικροαναλύσεως στοιχεῖα τῶν ὡς προηγουμένως, δειγμάτων ολιβινίτου Πιερίων (συλλέκτης Γ. Μαρίνος) και Κύπρου (συλλέκτης Τ. Μανρίδης) περιέχονται εἰς τὸν Πίνακα ἀριθμὸς 1.

Τὸ ἕνα δεῖγμα ἀμιγοῦς ολιβινίτου Πιερίων μικροαναλυθὲν ἐπὶ 8 σημείων ἔδειξε σιδηροῦχον φορστερίτην μὲ Fo 0.955.

Τὸ δεύτερον δεῖγμα ολιβινίτου Πιερίων, ἐξ ἐντρώσεως ἐντὸς χρωμίτου, ὑπὸ μικροαναλύσεως 19 σημείων παρουσίασε σιδηροῦχον φορστερίτην μὲ Fo 0.965.

Τὰ δείγματα Τροόδου Κύπρου, ἐξ ολιβινίτου ἐλαφρῶς σερπεντινωμένου, ἔδειξαν περισσότερον σιδηροῦχον περιδοτον (ολιβίνην) (συγκριτικῶς πρὸς τὰ Πιέρια) μὲ Fo 0.898 - 0.915.

Τὰ ἀποτελέσματα ἐκ τῆς μικροαναλύσεως σχεδὸν ταυτίζονται πρὸς τὰ τῆς ὀπτικῆς και ἀκτινογραφικῆς, ὅπως περαιτέρω ἀναγράφεται.

* G. P. MARINOS - K. SPATHI - V. PERDIKATSI, **Investigations by Electron Probe Method, and comparisons of olivine with pyroxene and chromite, from ultramafic formations, in Greece and Cyprus.**

Π Ι Ν Α Ξ 1.

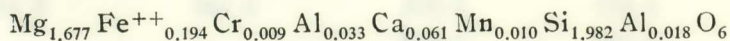
Μικροανάλυσις όλιβινών.

	1	2	3	4
SiO ₂	41.692	41.105	41.091	41.962
Al ₂ O ₃	0.030	0.045	0.041	0.042
MgO	48.285	50.590	54.267	54.381
NiO	0.145	0.269	0.333	0.370
FeO	9.515	7.716	4.071	2.905
MnO	0.237	0.203	0.136	0.107
TiO	0.065	0.043	—	—
Σύνολον	99.969	99.971	99.939	99.762
Αριθμός ιόντων με βάση 4 όξυγόνα				
Ti	1.005	0.999	0.984	1.000
Al	0.001	0.002	0.001	0.002
Mg	1.786	1.833	1.937	1.932
Ni	0.003	0.005	0.006	0.007
Fe	0.192	0.157	0.082	0.058
Mn	0.004	0.005	0.002	0.002
Ti	0.002	0.001	—	—

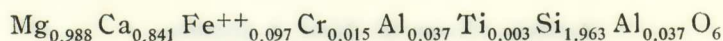
1. — Σιδηροϋχος φορστερίτης. Κύπρος Κοκκινόροσος. Δειγ. άρ. 9759. Σ. τ. άρ. 5349. Μέση ανάλυσις 6 σημείων. Χημικός τύπος: Mg_{1.786} Fe⁺⁺_{0.192} SiO₄ με προσμίξεις Al 0.001, Ni 0.003, Mn 0.004, Ti 0.002 %.
2. — Σιδηροϋχος φορστερίτης. Κύπρος - Κοκκινόροσος. Δειγ. άρ. 9758. Σ. τ. άρ. 5348. Μέση ανάλυσις 11 σημείων. Χημικός τύπος: Mg_{1.833} Fe⁺⁺_{0.157} SiO₄ με προσμίξεις Al 0.002, Ni 0.005, Mn 0.005, Ti 0.001 %.
3. — Σιδηροϋχος φορστερίτης. Πιέρια - 'Αγ. Δημήτριος. Δειγ. άρ. Π₁ Σ.τ. άρ. 5318. Μέση ανάλυσις 8 σημείων. Χημικός τύπος: Mg_{1.937} Fe⁺⁺_{0.052} Si_{0.984} O₄ με προσμίξεις Al 0.001, Ni 0.006, Mn 0.002 %.
4. — Σιδηροϋχος φορστερίτης. Πιέρια - 'Αγ. Δημήτριος. Δειγ. άρ. Π₂ Σ. τ. 5319. Μέση ανάλυσις 19 σημείων. Χημικός τύπος: Mg_{1.932} Fe⁺⁺_{0.058} SiO₄ με προσμίξεις Al 0.002, Ni 0.007, Mn 0.002 %.

Πυροξένιοι. Τὰ ἐξαγόμενα ἐκ τῆς μικροαναλύσεως πυροξένων τῶν ὑπερβασικῶν Τροόδους Κύπρου περιέχονται εἰς τὸν Πίνακα ἀριθ. 2, ὡς μέσα μεγέθη ἐπὶ 7 ἀναλυθέντων σημείων. Τὰ μεγέθη αὐτὰ ὅπως καὶ αἱ προβολαὶ τῶν ἀτομικῶν ποσοστῶν, Ca, Mg καὶ ΣFe (ἐνθα ΣFe = Fe⁺⁺ + Fe⁺⁺⁺ + Mn) ἐπὶ τοῦ τριγώνου βολλαστονίτης, ἐνστανίτης, φερροσιλίτης (εἰκ. 1) (Deer κ.ἄ. 1967) παρουσιάζουν ἀφ' ἐνὸς ὀρθοπυρόξενον ἐνστατίτην ἐκρηξιγενεῶς προελεύσεως μὲ 100 mg/Mg + ΣFe = 89.154 καὶ ἀφ' ἑτέρου κλινοπυρόξενον μαγνησιοχρωμιούχον διοψίδιον (εἰκ. 1, σημεῖα 1 καὶ 2).

Ἐκ τῶν ἀναλυτικῶν αὐτῶν ἀποτελεσμάτων ἐξάγονται οἱ χημικοὶ τύποι διὰ τὸν ὀρθοπυρόξενον ἐνστατίτην :



διὰ τὸν κλινοπυρόξενον (μαγνησιοχρωμιούχον διοψίδιον)



ΧΡΩΜΙΤΗΣ ΚΑΙ ΣΥΝΟΔΟΙ ΣΠΙΝΕΛΙΟΙ

Κύριος. Ἐλάχιστοι κρύσταλλοι «χρωμίτου» ἀπαντοῦν διάσπαρτοι μέσα εἰς τὰ ὀλιβινικά δείγματα ποῦ ἐξετάσθησαν ἀπὸ τὴν περιοχὴν Κοκκινόροσος. Οἱ κρύσταλλοι εἶναι γωνιώδεις, στρογγυλεμένοι καὶ σπανίως ἰδιόμορφοι. Οἱ περισσότεροι δὲν εἶναι ἀμιγεῖς, ἀλλὰ παρουσιάζουν, εἴτε εἰς τὴν περιφέρειαν αὐτῶν τμηματικὰς ὀρυκτοχημικὰς ἀντικαταστάσεις, εἴτε εἰς ἐσωτερικὰς αὐτῶν περιοχὰς. Αἱ διάφοροι φάσεις διερευνήθησαν μὲ τὸν μικροαναλυτὴν καὶ τὰ ἀποτελέσματα τῶν ἀναλύσεων παρουσιάζονται εἰς τοὺς πίνακας 3 καὶ 4. Παρέχονται ἐντὸς αὐτῶν ἀναλύσεις ποῦ αἱ περισσότεραι ἀποτελοῦν μέσον ὄρον ἀναλύσεων περισσοτέρων τοῦ ἐνὸς σημείων. Τὰ συνολικὰ 40 σημεῖα ποῦ ἀνελύθησαν ἐντοπίζονται εἰς τοὺς ἰδίους ἢ διαφορετικοὺς κόκκους καθωρισμένων περιοχῶν τῶν στυλπνῶν τομῶν. Αἱ περιοχαὶ ἐπελέγησαν μὲ τὴν βοήθειαν μικροσκοπίου καὶ παρίστανται μὲ τοὺς ἀριθμοὺς 1 - 4.

Ἀπὸ τὴν προβολὴν περιεχομένου κυψελίδος τῶν τρισθενῶν στοιχείων Al, Cr, Fe⁺⁺⁺ εἰς τὸ τριγωνικὸν διάγραμμα Stevens (Εἰκ. 2) οἱ κόκκοι ποῦ ἀνελύθησαν χαρακτηρίζονται ὡς ἀργιλιохρωμίτης, σιδηροχρωμίτης, χρωμιούχος σπινέλιος καὶ χρωμιούχος μαγνητίτης νικελιούχος ἢ μή. Ἀπὸ τὴν μικροανάλυσιν προέκυψεν ἡ παρουσία χρωμιούχου αἱματίτου.

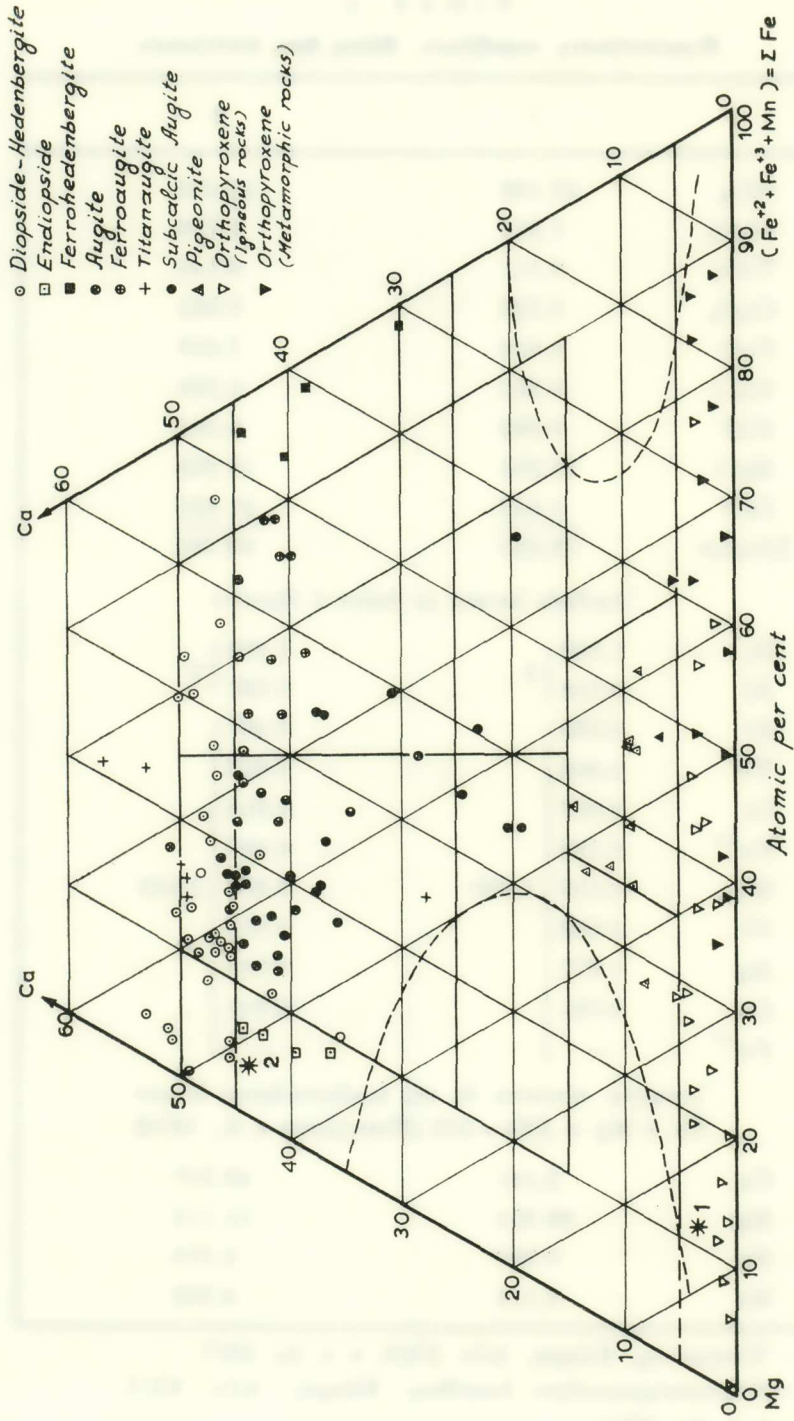
Π Ι Ν Α Ξ 2.

Μικροανάλυσις πυροξένων. Μέσος όρος αναλύσεων.

	1	2
SiO ₂	57.196	54.476
Al ₂ O ₃	1.254	1.718
TiO ₂	0.111	0.145
Cr ₂ O ₃	0.326	0.585
FeO	6.660	2.699
MnO	0.355	0.233
NiO	0.092	0.044
MgO	32.284	18.265
CaO	<u>1.642</u>	<u>21.621</u>
Σύνολον	99.920	99.786
Ἀριθμὸς ἰόντων μετὰ βάσιν 6 ὀξυγόνα		
Si	1.982	1.963
Al	0.018	0.037
Al	0.033	0.037
Ti	0.003	0.003
Cr	0.009	0.015
Fe ⁺²	0.194	0.097
Mn	0.010	0.007
Ni	0.003	0.001
Mg	1.677	0.988
Ca	0.061	0.841
Fe ⁺³	—	—
Ἀτομικὰ ποσοστὰ ἐκ τῆς ὁμαδοποιήσεως ἰόντων Ca + Mg + ΣFe = 100 (Hutchison κ. ἄ., 1974)		
Ca	3.141	43.507
Mg	86.354	51.112
Fe	9.989	5.018
Mn	0.114	0.362

1. — Ἐνστατίτης. Κύπρος. Δεῖγ. K9/2, σ. τ. ἄρ. 5317.

2. — Μαγνησιοχρωμιούχος διοψίδιος. Κύπρος. Δεῖγ. K9/2, σ. τ. ἄρ. 5317.



Είχ. 1. Προβολή πυροξένων (1.2). Είς τὸ διάγραμμα βολλαστονίτη, ἔνστατιτη, φερροσυλίτη (τροποποιημένο). Είς τὸ ἕδιον διάγραμμα ἢ κατανομὴ πυροξένων κατὰ Deer, βάσει χημικῶν ἀναλύσεων (V₃, Είχ. 4). 1. Ἐνστατίτης, 2. Διοψίδιος.

Εἰς τὸν χρωμοῦχον μαγνητίτην αἱ χημικαὶ ἀναλύσεις κλείνουν ἀσυμπλήρωτοι (πιν. 5). Αὐταὶ αἱ ὑστερήσεις ἀπὸ τὸ 100% ἀποδίδονται εἰς ἀτελείας στυλβώσεως τῶν στυλβῶν τομῶν, δεδομένου ὅτι αἱ βιβλιογραφικαὶ μικροανλύσεις τοῦ ὄρυκτοῦ εἶναι ἀπόλυτα ἱκανοποιητικά. Εἰς τὴν περίπτωσιν τοῦ νικελιούχου χρωμομαγνητίτου, μέρος τοῦ Fe^{++} (ἐνδεχομένως καὶ τοῦ Mg) ἀντικαθίστανται ἀπὸ Νί. Συνεπῶς ἐὰν τὸ περιεχόμενον τῆς κυψελίδος εἰς ἄτομα Νί, προστεθῇ εἰς ἐκεῖνο τοῦ Fe^{++} , τὸ ὄρυκτὸν προβάλλεται μαζὶ μὲ τοὺς ἄλλους χρωμομαγνητίτας εἰς ὀρθογώνιον διάγραμμα Stevens (Εἰκ. 2, ἡ προβολὴ σημειώνεται μὲ ἀστερίσκον).

Ἡ ὀπτική διαφοροποίησις τῶν διαφόρων φάσεων εἶναι ἀσαφῆς ἕως εὐδιάκριτος καὶ στηρίζεται μόνον εἰς ἑλαφρὰν διαφορὰν ἀποχρώσεως τοῦ χρώματος τῆς τομῆς, πὺ ἔχει ὡς ἑξῆς:

— Ἀργιλιохρωμίτης: Χρῶμα τομῆς σκοτεινότεφρον ἕως ἀνοικτότεφρον. Τὸ ὄρυκτὸν ἀποτελεῖ τὸ μεγαλύτερον μέρος τῶν κόκκων. Μὲ αὐτὸ συνδέεται ὁ σιδηροχρωμίτης, χρωμοῦχος σπινέλιος καὶ ὁ νικελιούχος μαγνητίτης.

— Σιδηροχρωμίτης: Χρῶμα παρόμοιον τοῦ ἀργιλιохρωμίτου μὲ σχετικῶς ἀνοικτοτέραν ἀπόχρωσιν. Παρουσιάζει σχέσιν ἀντικαταστάσεως μὲ τὸν ἀργιλιохρωμίτην, ἀναπτύσσεται ὅμως εἰς περιορισμένην ἔκτασιν ὑπὸ μορφὴν συγκεντρωμένων σταγονιδίων κατὰ τόπους, ἐγγὺς τῆς περιφερείας τῶν κόκκων ἢ εἰς μορφὴν ὀφειουροειδῶν σχημάτων εἰς τὸ κέντρον ἄλλων. Εἰς τὴν δευτέραν περίπτωσιν φαίνεται ὅτι ἡ ἀντικατάστασις ἔγινε εἰς ρωγμὰς ἀπὸ τὴν κεντρικὴν περιοχὴν τοῦ κρυσταλλικοῦ ἀτόμου.

— Ἀργιλοσπινέλιος: Χρῶμα μὲ καστανίζουσαν ἀπόχρωσιν ὡς πρὸς ἐκεῖνο τοῦ ἀργιλιохρωμίτη, πὺ ἀντικαθιστᾷ περιφερειακὰ τμήματά του μὲ χαρακτηριστικὴν ἀνώμαλον ἐπιφάνειαν ἐπαφῆς.

— Χρωμοῦχος μαγνητίτης: Τὸ ὄρυκτὸν πὺ ἀναλύθηκε εἰς ἰδιόμορφον κρύσταλλον, παρουσιάζει ἀσαφῆ χρωματικὴν διαφορὰν ἀπὸ τὸν ἀργιλιохρωμίτην, ὥστε εἰς τὴν περίπτωσιν τῆς τομῆς (5348 περιοχὴ 1), ὁ νικελιούχος χρωμομαγνητίτης νὰ μὴ διαφορίζεται ὀπτικῶς ἀπὸ τὸν ἀργιλιохρωμίτην καὶ σιδηροχρωμίτην τοῦ ἴδιου συσσωματώματος. Αὐτὴ ἡ ἀσάφεια, πὺ ἀποδίδεται στὴν συνεχῶς μεταβαλλομένην περιεκτικότητα τῶν διαφόρων στοιχείων, ἐκδηλώνεται καὶ μὲ τὴν προβολὴν μιᾶς ἀναλύσεως τοῦ ὄρυκτοῦ στὰ ὄρια χρωμοῦχου καὶ ἀργιλιούχου μαγνητίτη στὸ τριγωνικὸ διάγραμμα Stevens (Εἰκ. 2).

— Χρωμοῦχος αἰματίτης: Ἀντικαθιστᾷ περιφερειακὸν τμήμα ἀργιλιохρωμίτου, ἔχει τὸ ἴδιον τερφίζον χρῶμα, ἀλλὰ σαφῶς ἀνοικτοτέραν ἀπόχρωσιν.

Π Ι Ν Α Ξ 3.
Μικροανάλυσις «Χρωμιτών» Κύπρου.

	Ἀργιλιχοχρωμίτης (Aluminian Chromite)							
	1	2	3	3	3	2	4	4
Δεῖγμ. ἀφ. : 9758								
Σ. τομῆ : 5348								
ἽΟρυχτό :								
Πεφ. σ. τομῆς :	1	2	3	3	3	2	4	4
Μεσ. ὄθος σημείων :	3							
Cr ₂ O ₃	55.583	54.680	54.290	58.785	55.782			
Al ₂ O ₃	11.583	12.120	11.623	4.760	8.417			
Fe ₂ O ₃	3.300	3.300	4.180	5.714	5.500			
TiO ₂	0.125	0.160	0.203	0.200	0.130			
MgO	9.993	10.440	9.973	5.925	8.002			
MnO	0.483	0.555	0.533	0.720	0.605			
FeO	17.493	17.000	17.360	22.500	20.060			
NiO	0.110	0.003	0.083	0.055	0.046			
Σύνολον	98.670	98.285	98.245	98.659	98.542			

Υπολογισμός ιόντων με βάσιν 4 δευγόνια (Me OMe₂O₃)

Cr	1.4608	1.4349	1.4324	1.6425	1.5117
Al	0.4539	0.4742	0.4572	0.1983	0.3401
Fe ⁺³	0.0826	0.0824	0.1050	0.1520	0.1419
Ti	0.0031	0.0040	0.0051	0.0053	0.0034
Mg	0.4951	0.5165	0.4960	0.3121	0.4088
Mn	0.0136	0.0156	0.0151	0.0216	0.0176
Fe ⁺²	0.4863	0.4719	0.4845	0.6651	0.5751
Ni	0.0029	0.0008	0.0022	0.0016	0.0013

Ατομα κατά κυψελίδα (8 Μόρια Me OMe₂O₃ → 32 δευγόνια)

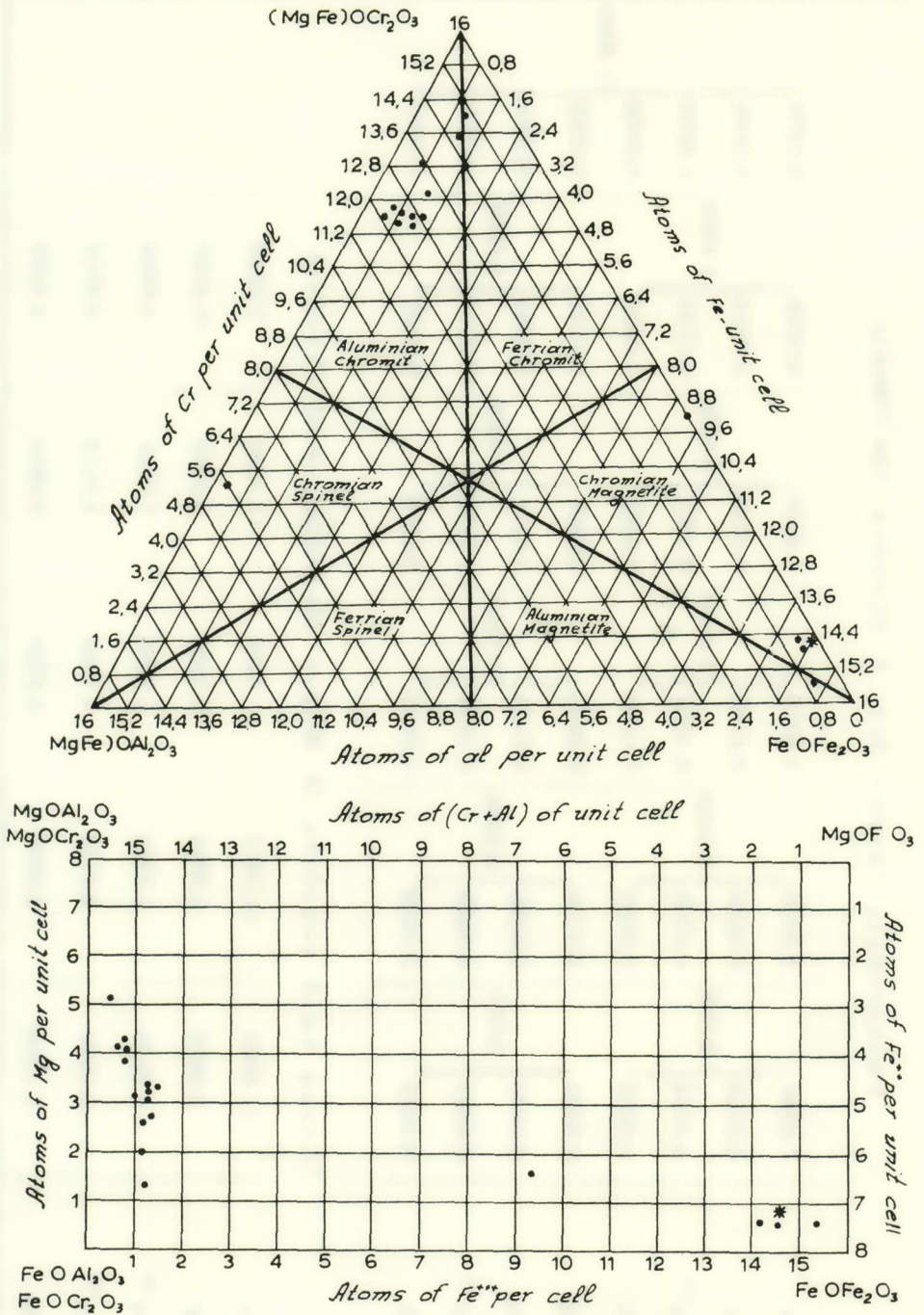
Cr	11.6864	11.4792	11.4592	13.1400	12.0936
Al	3.6312	3.7936	3.6576	1.5864	2.7208
Fe ⁺³	0.6608	0.6592	0.8400	1.2160	1.1352
Fe ⁺²	3.8904	3.7752	3.8760	5.3208	4.6008
Mg	3.9608	4.1320	3.9680	2.4968	3.2704

Π Ι Ν Α Κ 4.

Μικροανάλυσις «Χρωμιτών» Κύπρου.

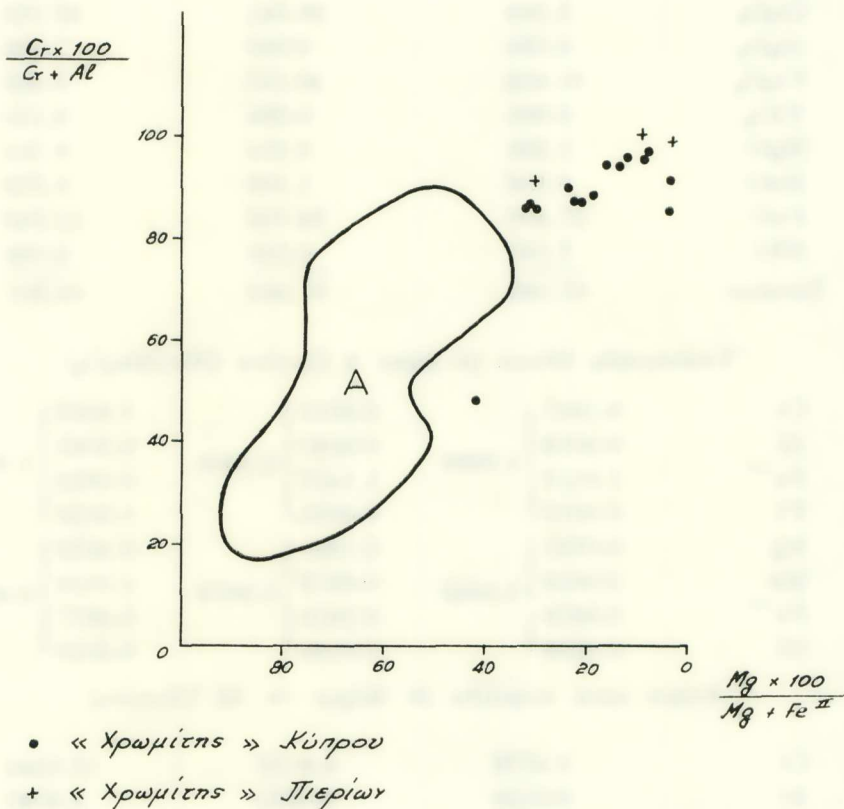
Δεγμ. ἀφ. : 9759 Σ. τομή : 5349 Όργανό :	Αργιλιόχρωμιτής (Aluminian Chromite)						Χρ. σπινέλιος Chr. spinel.	Αιματίτης Hematite
	1	2	2	4	3	6		
Περιοχή σ. τομής :	1	2	2	4	3	6	2	1
Μέσ. ὄρος σημείων :	3	1	1	1	1	1	3	2
Cr_2O_3	53.467	52.400	53.470	53.948	27.650	5.945		
Al_2O_3	9.457	10.470	10.550	10.402	38.610	6.080		
Fe_2O_3	5.830	6.050	6.050	4.950	3.300	91.239		
TiO_2	0.123	0.100	0.150	0.136	0.045	0.010		
MgO	6.690	7.280	7.630	7.528	14.506	0.010		
MnO	0.650	0.670	0.597	0.662	0.347	0.050		
FeO	21.870	20.770	20.820	20.643	15.523	0.000		
NiO	0.470	0.080	0.057	0.070	0.107	0.045		
Σύνολον	98.557	97.820	99.324	98.339	100.088	97.379		

		"Υπολογισμός ιόντων δια 4 δευγόνια (Me ⁺ OMe ₂ O ₃)"									
Cr	1.4608	1.4226	1.4274	1.4549	0.6253	0.1278					
Al	0.3852	0.4238	0.4199	0.4183	1.3019	0.0026					
Fe ⁺³	0.1516	2.008	2.0053	2.0048	2.0038	1.9992					
Ti	0.0032	0.1563	0.1537	0.1271	0.0710	1.8676					
		0.0026	0.0038	0.0035	0.0010	0.0002					1.9996
Mg	0.3446	0.3726	0.3840	0.3827	0.6184	0.0002					
Mn	0.0190	0.0195	0.0171	0.0191	0.0084	0.0004					
Fe ⁺²	0.6321	0.997	0.9908	0.9907	0.9926	1.0007					
Ni	0.0013	0.5965	0.5881	0.5889	0.3714	0.0000					
		0.0022	0.0015	0.0019	0.0025	0.0010					
		"Ατομα κατά κυψελίδα (8 Μόρια Me ⁺ OMe ₂ O ₃ → 32 δευγόνια)"									
Cr	11.6864	11.3803	11.4192	11.6392	5.0024						
Al	3.0816	3.3904	3.3592	3.3364	10.4152						
Fe ⁺³	1.2128	1.2502	1.2296	1.0168	0.5680						
Fe ⁺²	5.0568	4.7720	4.7048	4.7112	2.9712						
Mg	2.7568	2.9808	3.0720	3.0616	4.9472						



Εικ. 2. Προβολή «χρωμιτών» από Πιέρια και Κύπρον εις τὸ τριγωνικὸν καὶ πρισματικὸν διάγραμμα Stevens.

Πιέρια. Είς τήν στυλπνήν τομήν ὁ «χρωμίτης» σχηματίζει ταινίαν ἀπὸ μεγάλους πανιδιομόρφους κρυστάλλους μὲ χρῶμα τομῆς τεφροκαστανίζον. Ἀπὸ τὴν μικροανάλυσιν διεφορίσθη τὸ ὄρυκτὸν ὡς ἀργιλιοχρωμίτης καὶ χρωμιούχος μαγνητίτης (πιν. ἀριθ. 4).



Εἰκ. 3. Ἡ προβολὴ τῶν ἀναλυθέντων χρωμιτῶν εὐρίσκειται ἐκτὸς καὶ πέραν τῆς περιοχῆς τῶν σπινελίων τῶν «ἀλπινούτων περιδοτιτῶν» (κατὰ τὸ διάγραμμα Irvine 1967, Rothstein 1972).

• «Χρωμίτης» Κύπρου, + «Χρωμίτης» Πιερῶν.

Εἰς τήν στυλπνήν τομήν ἀριθ. 5318, οἱ μεταλλικοὶ κόκκοι παρουσιάζονται μεμονωμένοι ἢ ὡς διάσπαρτα συσσωματώματα ποὺ συχνὰ ἀποτελοῦνται ἀπὸ τεφρίζοντα πυρῆνα καὶ λευκοτεφρίζουσαν περιφερειακὴν ζώνην (Εἰκ. 4). Εἰς τὴν περίπτωσιν αὐτὴν ἡ περιφερειακὴ ζώνη ἀνελύθη εἰς 4 σημεῖα καὶ ὁ πυρῆν εἰς 6 καὶ ἀπὸ τὴν μικροανάλυσιν αὐτῶν προέκυψεν, ὅτι πρόκειται περὶ χρωμιούχου

Π Ι Ν Α Ξ 5.

Μικροανάλυσις «Χρωμίτου» περιοχής Πιερίων.

	1	2	3
Cr ₂ O ₃	5.966	28.541	60.089
Al ₂ O ₃	0.034	0.089	7.536
Fe ₂ O ₃	61.453	40.197	3.465
TiO ₂	0.065	0.088	0.150
MgO	1.266	3.254	9.784
MnO	0.159	1.163	0.573
FeO	27.400	24.100	17.242
NiO	7.040	0.548	0.068
Σύνολον	97.083	97.980	98.907
Υπολογισμός ιόντων με βάση 4 ὀξυγόνα (MeOMe ₂ O ₃)			
Cr	0.1847	0.8519	1.6068
Al	0.0016	0.0040	0.3005
Fe ⁺³	1.8112	1.1422	0.0882
Ti	0.0019	0.0025	0.0038
Mg	0.0739	0.1831	0.4932
Mn	0.0053	0.0372	0.0164
Fe ⁺²	0.8975	0.7610	0.4877
Ni	0.0233	0.0166	0.0018
Ατομα κατά κυψελίδα (8 Μόρια → 32 Ὄξυγόνα)			
Cr	1.4776	6.8152	12.8544
Al	0.0128	0.0320	2.4040
Fe ⁺³	14.4896	9.1376	0.7056
Fe ⁺²	1.1800	6.0880	3.9016
Mg	0.5912	1.4648	3.9456

1. — Χρωμιούχος μαγνητίτης. Περιφερειακή ζώνη. Δείγ. Π₁ σ. τ. ἀρ. 5318. Εἰκ. 5. Ἡ ἀνάλυσις εἶναι ὁ μέσος ὄρος ἀναλύσεων 4 σημείων.
2. — Χρωμιούχος μαγνητίτης. Χρωμιούχος πυρήν. Δείγ. Π₁, σ. τ. ἀρ. 5318. Εἰκ. 4. Ἡ ἀνάλυσις εἶναι ὁ μέσος ὄρος ἀναλύσεων 6 σημείων.
3. — Ἀργιλιόχρωμίτης. Δείγ. Π₂, σ. τ. ἀρ. 5319. Ἡ ἀνάλυσις εἶναι ὁ μέσος ὄρος ἀναλύσεων 4 σημείων.

μαγνητίτου, όπου εις την περιφερειακήν ζώνην επικρατεί ὁ σίδηρος (Εἰκ. 5) καὶ εἰς τὸν πυρῆνα τὸ χρώμιον (Εἰκ. 6).

Αἱ τιμαὶ ποὺ ἀντιπροσωπεύουν τὸ περιεχόμενον τῆς κυψελίδος εἰς ἄτομα τρισθενῶν στοιχείων προβάλλονται μέσα εἰς τοὺς ἀντιστοίχους τομεῖς τοῦ τριγωνικοῦ διαγράμματος Stevens διὰ τὸν ἀργιλιохρωμίτην καὶ εἰς τὴν σιδηροῦχον περιφερειακὴν ζώνην τοῦ χρωμιούχου μαγνητίτου καὶ ἐπὶ τῆς γραμμῆς Cr - Fe⁺⁺⁺ γιὰ τὸν χρωμιούχον πυρῆνα τοῦ δευτέρου (Εἰκ. 2).

Γενικῶς, οἱ κρύσταλλοι τοῦ χρωμιούχου μαγνητίτου μᾶλλον ἐσχηματίσθησαν κατὰ τὴν σερπεντινίωσιν τοῦ δουνίτη, γεγονὸς ἀπὸ μακροῦ γνωστόν.

ΘΕΙΟΥΧΑ ΟΡΥΚΤΑ

Εἰς σερπεντινωμένον δεῖγμα Π₂ τῆς περιοχῆς Πιερίων παρατηρήθησαν διάσπαρτα κοκκία καὶ μικροσυσσωματώματα θειούχων ὄρυκτων. Τὰ συσσωματώματα αὐτὰ εἶναι μικροκκόδη μὲ κίτρινον χρῶμα καὶ ἀσαφεῖς ὀπτικὰς ιδιότητες.

Ὅρυκτά, βάσει μικροανάλυσεως, προσδιορίσθησαν ὡς ἐξλεγουδίτης (heazlewoodite) (Ni₃ S₂), ποὺ ἀπαντᾷ συνήθως εἰς σερπεντινωμένα πετρώματα καὶ μιλλερίτης (NiS). Οἱ ἀναλύσεις παρέχονται εἰς τὸν πίνακα ἀρ. 6 μαζί μὲ βιβλιογραφικὰ στοιχεῖα διὰ τὸν μιλλερίτην (Dana 1946, Wytenbogaardt 1971).

Π Ι Ν Α Κ Σ 6.

Μικροανάλυσις θειούχων ὄρυκτων.

	1	2	3	4
S	26.7021	27.4038	32.1613	35.33
Ni	73.0916	71.8585	66.7899	64.67
Fe	0.0387	0.1268	0.3772	—
Σύνολον	99.8334	99.3891	99.3284	10.000

1, 2.— Ἐξλεγουδίτης, Ni₃ S₂. Πιέρινα, δεῖγμ. Π₂, σ. τ. ἀρ. 5319.

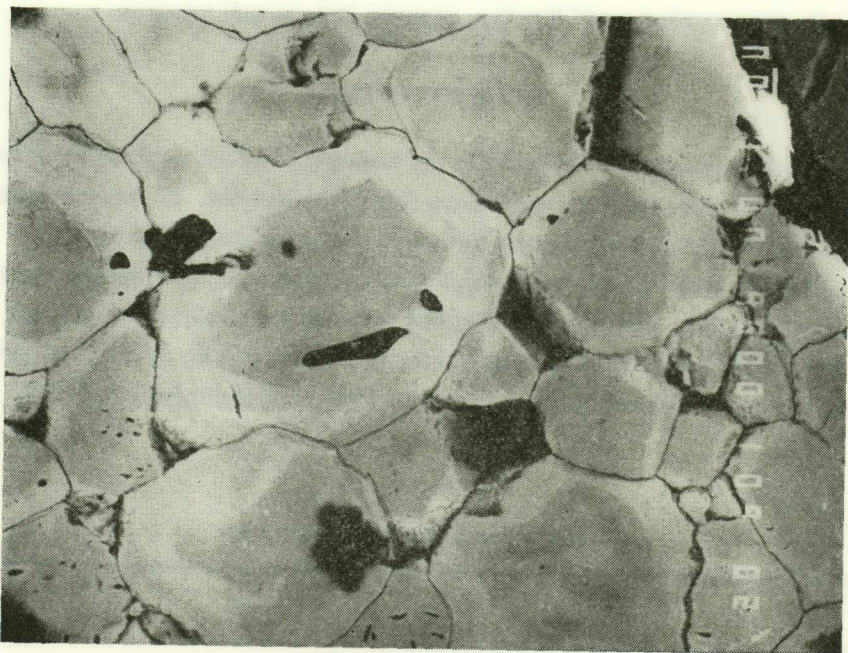
3.— Μιλλερίτης NiS » » » » 5319.

4.— Μιλλερίτης (Dana 1946).

Ἡ παρουσία νικελιούχων θειούχων ὀρυκτῶν ἐσημειώθη ἀπὸ ἐτῶν καὶ εἰς τοὺς σερπεντινωθέντας περιδοτίας τῆς Κεντρικῆς Ἑλλάδος (Ὁρθρος, Τσαγκλί) καὶ ἀλλαχοῦ. Ἐπὶ τοῦ θέματος αὐτοῦ ὀλίγα γνωρίζομεν.

ΑΞΙΟΛΟΓΗΣΕΙΣ ΚΑΙ ΣΥΓΚΡΙΣΕΙΣ

1. Οἱ δι' ἠλεκτρονικῆς μικροαναλύσεως προσδιορισμοὶ τῆς χημικῆς συστάσεως τῶν ὀλιβινῶν καὶ τῶν πυροξένων σχεδὸν ταυτίζονται μὲ τὸν ὀπτικὸν καὶ



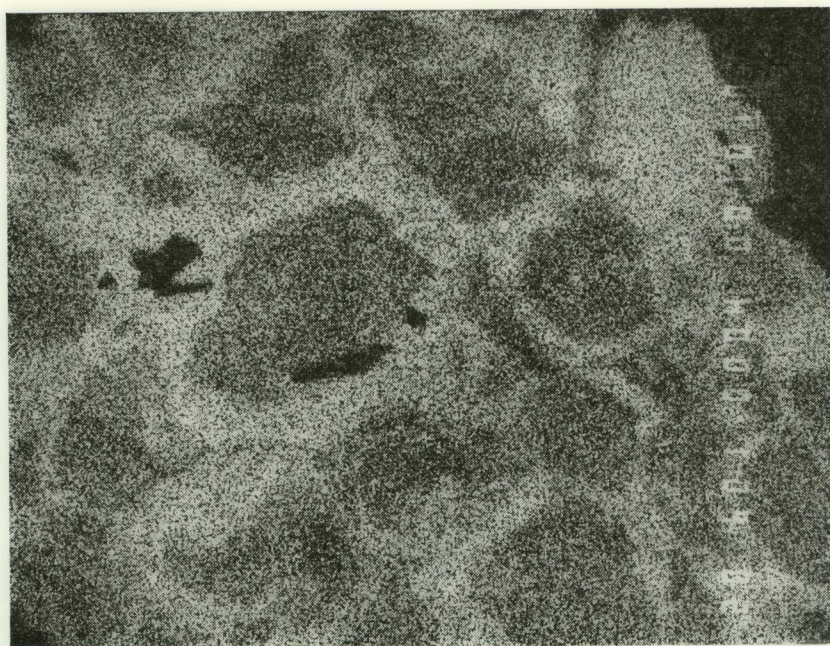
Εἰκ. 4. Χρωμιούχος μαγνητίτης. Τοπογραφικὴ ἀπεικόνισις συσσωματωμάτων (Cypro), 600 X Δείγμ. ἀριθ. Π₁. σ. τ. 5318.

ἄκτινογραφικὸν προσδιορισμὸν τῶν ἰδίων δειγμάτων (Μαρίνος, Σπαθῆ, 1981). Τοιοῦτοτρόπως, ὁ ὀλιβίνης Περίων μικροαναλυτικῶς εὑρέθη Fo 0.955 - 0.965, ὀπτικῶς ὡς χρυσόλιθος ἕως ἀμιγῆς φορστερίτης καὶ ἄκτινογραφικῶς φορστερίτης Fo Mol 97.9311 %. Ὁ ὀλιβίνης Κύπρου μικροαναλυτικῶς σιδηροῦχος φορστερίτης Fo 0.898 - 0.915 (Πίναξ 1) ὀπτικῶς ὑαλοσιδηρίτης ἕως χρυσόλιθος καὶ ἄκτινογραφικῶς μεσο- ἄνω χρυσόλιθος μὲ Fo Mol 80 - 88 %.

Ἡ ὡς ἄνω εἰκὼν παρουσιάζει μὲν τὸν ὀλιβίνην Κύπρου περισσότερον σιδηροῦχον ἔναντι τοῦ ὀλιβίνου τῶν Περίων, ἀλλὰ τῆς γνωστῆς στάθμης ἄλλων σιδη-

ρούχων φορστεριτών της Ελλάδος, όπως των όλιβινων Όρθρουοι και Βουρίνου (Μαρίνος, Μαράτος 1957). Η προηγουμένως (1981) σημειωθείσα διαφορά πλάτους περιοχής γωνίας οπτικών αξόνων 2Vx, μεταξύ όλιβινων Κύπρου και Ελλάδος, δέν άνιχνεύεται από πλευράς χημισμού (Μαρίνος, Σπαθῆ 1981).

Οί πυρόξενοι τών υπερθασικών της Κύπρου προσδιορίσθησαν οπτικῶς ὡς έντατίτης και διοψίδιος (Μαρίνος, Σπαθῆ 1981). Είς τὸ ἴδιον άκριβῶς αποτέλε-



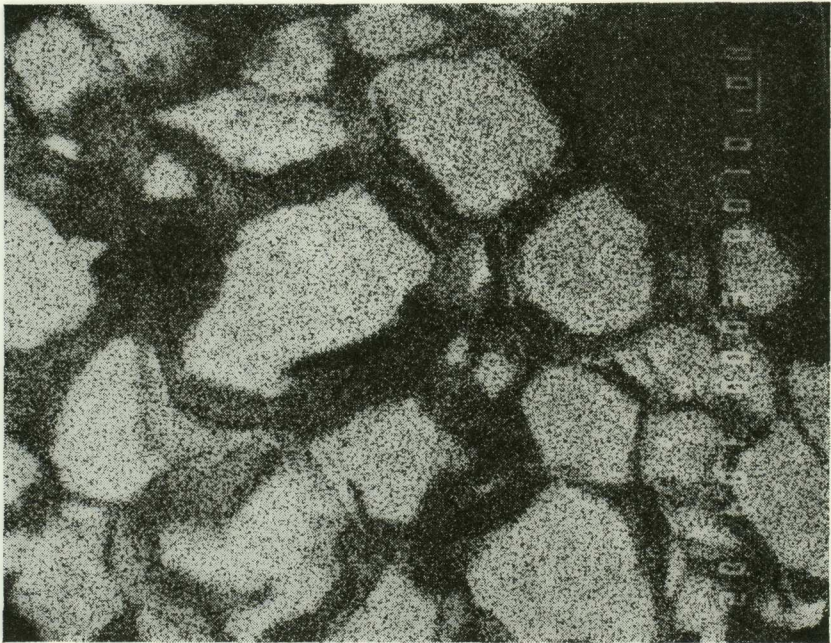
Είκ. 5. Η ίδια τομή. Κατανομή Fe, εικόνα X-Ray. Σαφής έμπλουτισμός Fe είς τήν περιφεριακήν ζώνην τών κρυστάλλων.

σμα κατέληξε και ή μικροανάλυσις είς τὸ ἴδιον δείγμα και τήν ἴδιαν τομήν, με ἐπί πλέον προσθέτους πληροφορίας περί τῆς χημικῆς συστάσεως, δηλαδή ένστατίτης και μαγνησιοχρωμιούχος διοψίδιος (Πίναξ 2).

Είς τὸν χρωμίτην Πιερίων ή μικροανάλυσις έβεβαίωσε τήν γνωστήν ὕψηλὴν περιεκτικότητα τοῦ μεταλλεύματος είς σίδηρον (περίπου Cr₂O₃ 38 - 42 % και FeO 20 - 22) αλλά, προσέτι, τήν κατανομήν, κατά ποιότητα, έντός, τοῦ κρυσταλλικοῦ κόκκου και τήν συνύπαρξιν χρωμιούχου αίματίτου ἐπί πλέον τοῦ νικελιούχου χρωμιομαγνητίτου (Πίναξ 5).

Εἰς τὸν χρωμίτην Κοκκινόροτσου Κύπρου οἱ μικροαναλύσεις ἐπεβεβαίωσαν τὴν γνωστὴν σύστασίν των, ὅπου ὑπερισχύει ὁ ἀργιλιохρωμίτης (Πανταζῆς 1981) ἀλλὰ ἔδειξαν ἐπὶ πλέον τὴν συνύπαρξιν χρωμιούχου μαγνητίτου, μετὰ ἢ ἄνευ νικελίου καὶ ἀργιλιωμαγνητίτου (Εἰκ. 2, Πίν. 3 - 4).

2. Ἡ συνύπαρξις ἀργιλιοσπινελίου μετὰ ὀλιβίνου καὶ ἀσβεστούχου πυροξέ-νου διοψιδίου — ἐν ἀντιθέσει πρὸς τὴν ἀπουσίαν ἀργιλικκοῦ βρονζίτου — συνη-



Εἰκ. 6. Ἡ προηγουμένη τομή. Κατανομή Cr, εἰκόνα X-Ray.
Σαφῆς κατανομή τοῦ Cr εἰς τὸ κεντρικὸ τμήμα τῶν κρυστάλλων.

γορεῖ περὶ τῆς μαγματικῆς προελεύσεως τοῦ πετρώματος καὶ περὶ τοῦ πλάτους τῶν ὀρυκτολογικῶν φάσεων ἀπὸ πλευρᾶς ποιότητος τῶν χρωμιτῶν, ἐνδεικτικῶν προφανοῦς ἀλληλουχίας ἀνακρυσταλλώσεων, ὑποκαταστάσεων καὶ ἀναμορφώσεως τῶν κρυσταλλικῶν δομῶν.

3. Λόγω τῆς γεωτεκτονικῆς των θέσεως οἱ χρωμίται Κύπρου καὶ Ἑλλάδος φέρονται ὡς χρωμίται ἀλπικοῦ τύπου. Οἱ μελετηθέντες, ὅμως, χρωμίται ἐξέρχονται τῆς περιοχῆς τῶν ἀλπικῶν χρωμιτῶν, ὅπως σημειώνεται εἰς τὸ πλάσιον $Cr/Cr+Al$ καὶ $Mg/Mg+Fe^2$ κατὰ Irvin καὶ Rothstein (Εἰκ. 3). Τὸ γεγονός

αὐτὸ συνηγορεῖ περὶ τῆς ἀνάγκης ἐπανεξετάσεως τοῦ θέματος εἰς εὐρύτεραν κλίμακα.

4. Εἰς τοὺς ἐξετασθέντας ὀλιβίνας ἐκ τῶν ὀλιβινιτῶν τῆς Κύπρου, δὲν φαίνονται ταινία πολυδυμίας δυναμικῆς παραμορφώσεως συνεπεία πιέσεων ἐξ ἀνακρυσταλλώσεων ἢ ἐξ ἄλλης αἰτίας. Τὸ ἴδιον διεπίστωσε ἐπὶ ἄλλης περιπτώσεως εἰς τὴν Κύπρον ὁ Challis (1967), ἀλλὰ ἡ γενικωτέρα, ἐπὶ τοῦ προκειμένου, ἐρμηνεία τοῦ ἐρευνητοῦ αὐτοῦ, δηλαδή, ὅτι ἀποκλείεται ἡ δυναμικὴ πολυδυμία εἰς τὰ κατ' ἐξοχὴν ὀλιβινικά πετρώματα, ὅπως ὁ δουνίτης καὶ ὁ χαρτσβουργίτης, δὲν ἐνισχύεται ἐκ τῶν δεδομένων τῆς ἰδικῆς μας περιπτώσεως.

5. Ἡ ἱστολογικὴ δομὴ τοῦ ὀλιβινίτου τῆς Κύπρου διατηρεῖται ἀδιατάρακτος, εἰς τὰ ἐξετασθέντα δείγματα. Δὲν ἐσημειώθησαν ἀξιόλογοι τεκτονικῆς προελεύσεως μικρομυλονιτώσεις, ὅπως τὸ ἴδιον συμβαίνει καὶ εἰς τὴν μάζαν τοῦ ὀλιβινίτου τοῦ Βουρίνου Μακεδονίας (Μαρκῖνος, Μαρκᾶτος 1957). Τοῦτο ἀποτελεῖ ἔνδειξιν σχετικῆς ἡρεμίας κατὰ τὴν γεωλογικὴν ἱστορίαν τῶν μαζῶν αὐτῶν. Ἀντιθέτως, εἰς τὸν ὀλιβινίτην τῶν Πιερίων, καὶ ἄλλων περιοχῶν τῆς Ἑλλάδος, ἡ κατάκλασις, μυλονιτώσις καὶ αἱ ἀνακρυσταλλώσεις καθίστανται ἐμφανεῖς ὑπὸ τὸ μικροσκόπιον, πέραν τῶν κανονικῶν ὀρυκτολογικῶν ἀναμορφώσεων κατὰ τὴν πορείαν τῆς φυσιολογικῆς διαπλάσεως τοῦ ὑπερβασικοῦ ἐκκριγενοῦς περιδοτίτου. Ἐπὶ τοῦ τελευταίου αὐτοῦ θέματος ὑφίσταται μέγα κενὸν γνώσεων, δοθέντος ὅτι θεωρητικῶς ἡ ἰσορροπία φάσεων εἰς χαμηλὴν θερμοκρασίαν δι' ἓνα ὕδατωμένον ὑπερβασικὸν σύστημα $MgO - SiO_2 - H_2O$ ἀκόμη δὲν κατέστη ἀντιληπτή. Παρὰ ταῦτα δυνάμεθα νὰ σημειώσωμεν, ὅτι ὁ σχετικῶς πλούσιος εἰς σίδηρον φορστερίτης τοῦ Τροόδου Κύπρου ἐντάσσεται εἰς τὰς περιπτώσεις σχηματισμοῦ τῆς φάσεως αὐτῆς ἐντὸς ὑπερβασικοῦ περιβάλλοντος — $Mg/Mg + Fe$ ἀτομικὸς λόγος 0,9 — ὑπὸ χαμηλὴν θερμοκρασίαν περιβάλλοντος (Shoji - Takahiro, 1981).

S U M M A R Y

By the method of electron probe microanalysis, the chemical composition of peridotites (olivines) and its paragenesis, consisting of pyroxene and spinel, of the ultramafic magmatic rocks, in Cyprus (Troodos) and Greece (Pieria) is studied.

Exactly, the same samples have been previously studied by the optical and X-Ray method and the data received coincide with only difference that the microprobe method procures more detailed information about chemical composition.

The peridotites (olivines) from Kokinorotsos (Troodos) is indentified, by microanalysis, as forsterite containing more iron as against the olivine of Pierea area, but nearly equivalent to the olivines of other greek olivinites.

The pyroxenes of Cyprus are identified as enstatite and chromian magnesian - diopside.

The chromite of Pierea shows grains of different chemical composition which varies even in the grain itself, such as aluminian chromite, ferrian chromite, chromian spinel nickeliferous or not, chromian magnetite and chromian hematite, from which derives the known high content in iron of the Pierea area chromite ore.

In the chromite of Cyprus there is, in addition to aluminian chromite, also chromian magnetite containing or not nickel, and aluminian magnetite.

The sulfide minerals, millerite (NiS) and heazlewoodite (Ni₃S₂) have been found in the serpentized peridotite of Pierea area.

The study of the results of the mineralogical paragenesis and of the dynamic magmatic textural deformation (mylonitization, twinning and others) allows as to make comparisons between the above and other general as well as greek cases.

Therefore, judging from the above cases in Greece and Cyprus, we believe that the limits which are indicated until today, for the chromite area of the Alpine geological area ought to be reexamined as regards as the ratio of $Cr/Cr + Al$ and $Mg/Mg + Fe^{+2}$.

It seems possible that the formation of olivine of Cyprus took place in magmatic surrounding of a rather low temperature though we must not ignore the fact that the phase equilibrium of hydrous magmatic system MgO-SiO₂-H₂O is not yet well understood.

ΒΙΒΛΙΟΓΡΑΦΙΑ

- Dana's, System of Mineralogy, V1, 7th Edition, London, 1946.
 W. A. Deer - R. A. Howie - J. Zussman, Rock-Forming Minerals, 5, 1, 2, 5. Longmans, London, 1967.
 C. S. Hutchison, Laboratory Handbook of Petrographic Techniques, N. Y., London, 1974.

- Γ. Μαρῖνος καὶ Αἰκ. Σπαθῆ, Παρατηρήσεις καὶ συγκρίσεις ἐπὶ τῶν Ὀλιβινῶν Ἑλλάδος καὶ Κύπρου καὶ ἐνδεικτικαὶ συσχετίσεις πρὸς τὴν Γεωτεκτονικὴν. Πρακτ. Ἄκ. Ἀθηνῶν **56**, Ἀθῆναι, 1981. 123-131.
- Μ. Οἰκονόμου, Αἱ ἐμφανίσεις μαγνητίτου ἐντὸς ἑλληνικῶν ὑπερβασικῶν πετρωμάτων καὶ ἡ γένεσις αὐτῶν. Διδασκ. διατριβή, Ἀθῆναι, 1979.
- Α. Πανάγος, Συγκριτικαὶ παρατηρήσεις ἐπὶ τοῦ χημισμού τῶν Ἑλληνικῶν χρωμιμιτῶν. An. Geol. des P. Helleniques, Ἀθῆναι, 1967.
- W. Uytendogaardt and E. A. J. Burke, Tables for Microscopic Identification of Ores Minerals. Elsevier, Amsterdam, London, N. Y., 1971.
- K. F. Chuboda, Über die plastische Verformung von olivin. Neues Jahrb. Min., **81**, 183. 1950.
- R. E. Stevens, Compositions of some chromites of the western hemisphere. Am. Mineral., **29**, 1-34. 1944.
- A. T. V. Rothstein, Spinel from the Darvos Peridotite, Connemara, Ireland. Miner. Magazine, **38**, 597-60. 1972.
- T. P. Thayer, Magmatic ore deposits. Econ. Geol. Monogr. 4. 1969.
- T. N. Irvin, Canad. Journ. Earth Sci., **4**, 71. 1967.
- G. A. Challis, X-ray study of deformation lamellae in olivines of ultramafic rocks. Mineral - Magazine, London, **36**, no 278, 195-203. 1967.
- I. G. Wiss, Ultramafic pillow - lave from Cyprus. Geol. Magazine, **95**, 241, 1958.
- Th. M. Pantazis, Chromite minerization associated in peridotite from Ochiai-Hokubo ultramafic complex - Western Japan. Am. Rep. Geosci. Univ. Tukuba, no 7, 70-93. 1981.